

II-125 不規則断面河道の洪水流(2)

京都大学防災研究所 正会員 高橋 保

1. はしあき 一般に河川は流れ方向に不規則な断面幅を持っています。主流断面に接して、はく離領域を持つているような場合も多い。はく離領域は洪水流に対して河道貯留による遅滞の主要な原因として作用するものと考えらるが、著者は前報において、このような河道において成立するものとみられる基礎方程式として、

$$\frac{\partial h_m}{\partial t} + \frac{B_m}{B_m + B_d} \cdot \frac{5}{3} U_m \frac{\partial h_m}{\partial x} = \frac{B_m}{B_m + B_d} \left\{ \frac{R_m U_m}{2(i - \frac{\partial h_m}{\partial x})} + D_L \right\} \frac{\partial h_m}{\partial x^2} \quad \dots \dots \quad (1)$$

を提案した。ここに、 h_m 、 U_m はそれぞれ主流断面内の水深および流速、 i は河床こう配、 B_m 、 B_d はそれぞれ主流断面および貯留域の幅、 D_L は大規模拡散係数である。そして、はく離領域のはほとんど存在しない場合 ($B_d = 0$) に対しては、不規則に変化する対象区间の河幅を平均化した仮想の一様な水路に対する洪水流の理論で比較的よく実験結果が説明できることを述べた。ただし、この場合には水路のみかけ粗度係数として、不規則な水深を平均した相似等流の水理に対する粗度係数を適用する必要があった。しかし、はく離領域のある場合には、(1)式を適用するにあたって、はく離域と主流断面との境界面のせん断力の評価を行なう必要があり、本報では水路側壁から横工を出して頭倒的な貯留域を作った場合に対する実験を行なって検討を加え、しかる後、(1)式による計算結果と実験結果の比較を行なった。

2. 実験の概要 実験水路は図-1に示すように、有効長さ 62m、こう配 1/500 のコンクリート水路で、前報の実験に用いた水路の両側壁から 50cm 向前に横工を出し、横工の先端から先端までの幅が一定値 49.5 cm になるよう

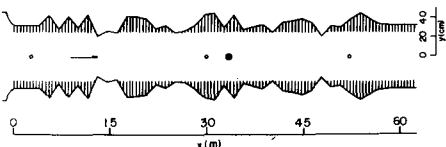


図-1 実験水路

にしたものである。実験はまず定常流について行ない、とくにそのうちの 2 ケースについては図中の○印の位置で流速分布の測定を行なった。非定常流実験では上下流端のハイドログラフと、○印の位置での水位時間曲線のみを計測した。

3. 実験結果とその考察 図-2 は定常流実験での水面形を示しているが、下流端近傍の低下背水領域を除けば、ほぼ等流に近く、貯留域の幅の変化はあまり顕著な影響を与えていないようである。このように流れを近似的に等流とみなしえるような範囲について有効水路幅を 49.5 cm として、平均の水深と Manning の粗度係数との関係を示したもののが図-3 である。図には横工設置前の下流側一様水路部分における粗度係数を同時に示しているが、これにくらべてかなり大きな値となることが注目される。このようなみかけ上の粗度係数の増大の効果は貯留域と主流断面幅との境界面で発生する激しい渦によるエネルギー消費の結果であると考えられ、とくに主流断面幅が狭い場合には、この効果が正しく見積もられなければなり式を用いて波

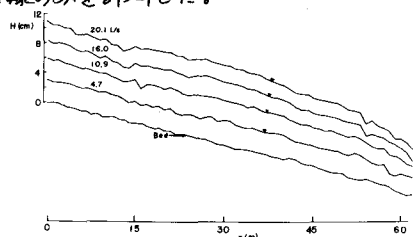
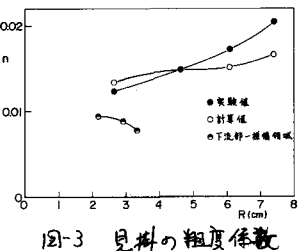


図-2 定常流の水面形

水流の計算を行はう場合に誤差が大きくなるものと考えられる。そこでまずこの点について考察を加えよう。

水深方向に速度分布の対数則が成立するものと仮定すれば、滑面水路での水深方向の平均流速は

$$\frac{U}{U_{ab}} = \frac{1}{K} (\ln M.R - 1), \quad M_r = U_{ab}/2ms \quad \left\{ \begin{array}{l} \\ ms = 1/9 \end{array} \right. \quad \dots \dots (2)$$



のようにならねられる。ただし、 U 以外の記号は通常用いられていいものである。いま、平均流速が U で運動しているもの高さを持つ単位幅の水柱に作用する力と均分式を立てると

$$-\frac{1}{2} U^2 + ghl + \frac{du}{dy} (g \eta \frac{du}{dy}) = 0 \quad \dots \dots (3)$$

となる。ここに、 η は底面での摩擦係数で、 $f = K^2 / (\ln M.R - 1)^2$ であるとしておく。また、 η は横断方向の渦動粘性係数である。その値は不明であるが、次元的に考えて、長さ l と平均流速 U の積に比例するものと仮定し、さらに負の u/l を一定値であると仮定して、

$$\eta = f l / U \quad \dots \dots (4)$$

と書くことにする。水深 h での二次元流速を U と書けば、(3)式は

$$f(U^2 - U^2) + ghl \frac{du^2}{dy^2} = 0 \quad \dots \dots (5)$$

と書きなされ、(5)式の

$$\left. \begin{array}{l} y=0 \text{ で } U=0 \\ y=2B \text{ で } U=0 \end{array} \right\} \quad \dots \dots (6)$$

という境界条件以下の解は

$$U = \frac{1}{2} \left\{ 1 - \frac{\cosh \sqrt{\frac{2f}{gh}} (B-y)}{\cosh \sqrt{\frac{2f}{gh}} B} \right\}^{1/2} \quad \dots \dots (7)$$

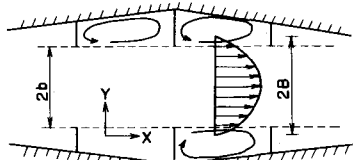


図-4 記号説明図

で与えられる。したがって、主流断面幅 $2b$ に対する平均流速 U_{mean} は

$$U_{mean} = \frac{1}{2b} \int_{B-b}^{B+b} U dy = \frac{1}{Kb} M(Kb, KB) \quad \dots \dots (8)$$

のようになって求まり、主流断面に対するManningの粗度係数は

$$n = \frac{Kb R^{2/3} f^{1/2}}{M(Kb, KB) \sqrt{gh}} \quad \dots \dots (9)$$

と書くことができる。 $n = f$ 。

$$M(Kb, KB) \approx \left(1 - \frac{1}{16} S^2 - \frac{45}{3232} S^4 \right) Kb - \sinh Kb \left(\frac{1}{2} S + \frac{1}{16} S^2 \cosh Kb + \frac{1}{48} S^3 \cosh^2 Kb + \frac{1}{24} S^5 + \frac{15}{16} S^4 \cosh^3 Kb + \frac{45}{3232} \cosh^5 Kb \right) \quad \dots \dots (10)$$

$$\text{ただし, } S = \sqrt{\cosh \sqrt{\frac{2f}{gh}} B}, \quad K = \sqrt{\frac{2f}{gh}} \quad \dots \dots (11)$$

である。以上で形式的にManningの粗度係数が求まつたのであるが、 f 、 l 、 b および B の値があらかじめわかっていてなければ実際に計算を行なうことはできない。

実験中の流れの觀測によれば、主流断面幅は横工の先端から先端までと考えられ、それより外側の領域では、図-4に示すように、1つの横工とつきの横工との間で、1つの大きな死水域がある領域といふべき領域となつてゐる。したがって、船直方向の平均流速 U_{mean} のところの位置は、主流断面から死水域へ入り込んだ所であると考えられ、本実験の場合には、水深の大きい場合で2cm程度、小さい場

合で1cm程度入った所であった。このような主流断面幅 $2b$ と平均流速 U 下流向きの値を持つような断面幅 $2B$ を一般的に論することは今後の課題であると考えられるが、ここでは実験水路に対しては観察によつて、実際河川に対するは渓水中に撮影した空中写真などから決定するものとしておこう。つづいて、 l と h の値についてであるが、 l を混合距離と考へ、 h を流向の流速変動として

$$|V'| = l \frac{du}{dy} \quad \dots \dots \dots (12)$$

と書けば、

$$h = \sqrt{U'^2}/U \quad \dots \dots \dots (13)$$

を考えることができ。Townsend²⁾が複断面本筋の佐治路と高木敷の境界面において乙の値を実測したところによれば0.08程度となつてあり、本実験の場合でも0.1～0.01のオーダーの値であることが予想される。混合距離 l については不明であるが、水深によって規定される方が重要な役割を演ずるものと考えて。

$$l = h \quad \dots \dots \dots (14)$$

と仮定しよう。このように考へて、 $h=8.8\text{cm}$ の場合に対して、 $h=0.045$ 、 $B-b=2\text{cm}$ とし、 $h=4.35\text{cm}$ の場合に対して、 $h=0.09$ 、 $B-b=1\text{cm}$ とし、(7)式より平均流速の横断分布を求めて実験値と比較したのが図-5である。この結果は前の見積りがうまく行けば(7)式は比較的よい近似を与えていることを示しているものと思われる。これらの実験値からただちに h の値を予測することはできないが、2例については h の値がほぼ一定に近いので、他の水深についてもこのようないくつかの値が成立するものとして、(9)式から主流断面に対するManningの粗度係数を計算した結果が図-3中の破線である。大きな差異に対しては一致の程度はよくないが、粗度係数が一様水路のものにくらべて大きくなる傾向や、水深の増加とともに増大して行く状態などをある程度説明することができる。

ここで、このような考え方をするとき主流断面の幅の変化によって平均流速がどのように変化するかを調べてみよと、 $\sqrt{2gh}=3$ とすれば、表-1に示すようになる。ただし、 b と B は等しいものとしている。表-1 主流断面幅の変化と平均流速

b/h	1	2	3	4	5	6	7	10
U_{max}	0.807	0.906	0.944	0.954	0.962	0.968	0.975	0.981

3次の検討を必要とするが、河幅が広くなると二次元流に近づく傾向が認められる。

さて、貯留効果の存在とともに、上記のような見掛け上の粗度係数の増加が認められるような不規則断面水路における渓水流について考へよう。図-6は実験の水位～時間曲線といふ式による計算結果との比較の一例である。ただし、計算は3m地点において実験値を近似するように水位～時間曲線を折線で与え、Manningの粗度係数としては図-3の実験値を近似すると思われる。

$$n = 0.0015R + 0.00825 \quad \dots \dots \dots (15)$$

という式に従って変化するものとして行なつた。また、幅が場所的に変化する貯留効果を平均化し、平均断面幅が17.5cm、主流幅が49.5cmの仮想の一様断面水路としての計算を行なつてある。なお、計算は大規模拡散係数の効果を調べるために、 $R=0$ とした場合と、(15)式の本辺中カッコ内のオ

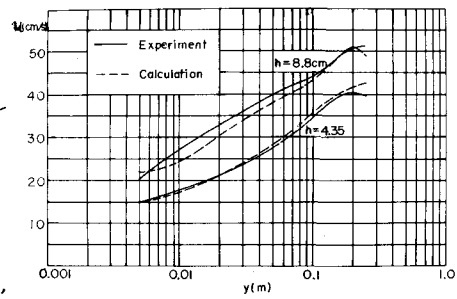


図-5 平均流速の横断分布

度と同オーダーの値として $D_L = 2 \text{ m}^2/\text{sec}$ とした場合について行なった。図-2からもわかるように定常流においても場所的に最大1cm程度変化する水深を平均化して取扱つていることで、計算の精度等を考えれば、計算値は実験値と比較的よい一致を示しているものと考えうことができるだろ。 D_L の効果は、 D_L が大きいほど遅減量は大きくなり、伝播速度が増大する傾向が認められるが、あまり顕著ではない。これに付随して、つぎに野留域幅、粗度係数および粗度係数を種々変化させたときの伝播速度と遅減量の変化の状態を調べよう。計算はすべて図-6に示した3m地点の水位～時間曲線(RUN B-1)を境界条件として解いたものである。図-7, 8は野留域幅の増加による伝播速度の連れと遅減量の増大傾向を示している。ただし、粗度係数としては実験値を採用し、 $D_L = 0$ としている。実験値の数が少ないので確かでないが、実験値は B_d が 0.175m と 0m との間にあらうようである。平均の野留域幅の 0.175m をとるものとすれば、 D_L あるいは n の値に少し修正を加えなければならないようである。いま $B_d = 0.175\text{m}$ とし、(15)式を用いて、 D_L のみを変化させた結果は図-9, 10のようであり、伝播速度については $D_L = 2 \text{ m}^2/\text{s}$ とした場合が実験値に近いようであるが、遅減量については $D_L = 0$ の方がむしろ近いようである。このように、淡水流の特性から D_L の値を推定することは D_L の効果があまり顕著でないので困難であり、換言すれば本実験水路の淡水流に対する D_L はほとんど無視してさしつかえないものと考えられる。また、 $B_d = 0$ 、 $D_L = 0$ として粗度係数のみの効果をみれば、図-11, 12のようになる。ただし、 $n = 0.009$ は権工における一様水路部分の平均粗度係数である。これらの図より、野留域が主流路に接して存在することによる粗度係数の増大の効果と、野留域欠淡水流の伝播速度と遅減量に与える影響、すなわち河道の淡水調節効果をうかがい知ることができるであらう。

4. あとがき 野留域の存在する場合、とくに河幅・水深比の比較的小さい場合には、野留効果のみではなく、主流量と死水域との境界面に発生する渦に付ける粗度係数の増大効果が重要となることを述べ、その特性について検討した。実際の河川でこのような効果がどのようにならうかは今後の研究課題と考えられるが、その効果が見積られた場合には(1)式で淡水流の解析を行ない得ることを示した。今後は加速度の比較的大きい場合についても検討を行なう必要があると思われる。なお、計算には京大型計算機を用い、研究室の1部と1975年度文部省科学研究費を受けていた。これに付記して謝意を表す。

参考文献 1)高橋保: 不規則断面河道の淡水流(1), 第25回土木学会年次講演会,

2)Townsend, D.R.: An investigation of turbulence characteristics in a river model, Proc. I.C.E., 1968.

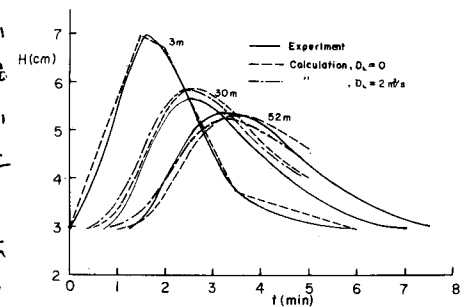


図-6 水位～時間曲線の実験と計算の比較

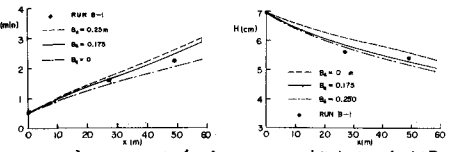


図-7 野留域幅と伝播速度

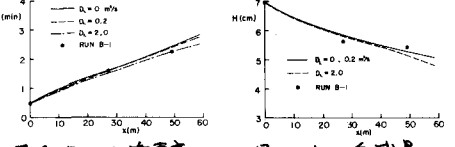


図-8 野留域幅と遅減量

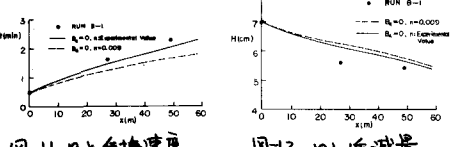


図-9 D_L と伝播速度

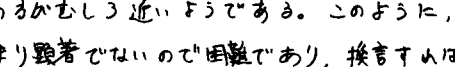


図-10 D_L と遅減量

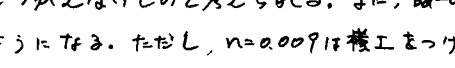


図-11 D_L と伝播速度

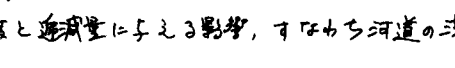


図-12 D_L と遅減量